

Controle digital: Controlador Via Alocação de Polos de Estados Observados.

Bernardo Bresolini * Ester Queiroz Alvarenga *

* Departamento de Engenharia Mecatrônica, CEFET-MG, Campus
Divinópolis (e-mail: berbresolini@gmail.com,
esterqueirozalvarenga@gmail.com).

1. INTRODUÇÃO

O conhecimento em Controle Digital por parte de engenheiros que atuarão na área controle é requerido devido à presença massiva dos controladores digitais em ambiente industrial. Por isso, o presente relatório apresenta os estudos e implementações da técnica de projeto de controladores digitais via alocação de polos de estados observados.

Para este estudo, fez-se necessário, selecionar o processo a ser trabalhado, especificar o desempenho desejado, discretizar o sistema, aplicar a técnica de projeto de controlador, obter o sinal de controle em equação a diferença, simular o processo de controle e analisar o desempenho da malha fechada.

Além desta Seção, este trabalho ainda é composto pelas Seções Sistema 1, Sistema 2 e Sistema 3, nas quais são descritos os projetos e as avaliações dos controladores para três sistemas distintos. Dentre os quais trata-se o atraso de tempo com o preditor de Smith. Ainda, tem-se a Conclusão, na qual é recapitulado sinteticamente os resultados do estudo. Nos apêndices é mostrado o código em Python3 para a implementação de cada controlador. No GitHub tem a biblioteca `ctrl.py` com as funções auxiliares desenvolvidas pelos autores usada na implementação.

2. SISTEMA 1

O primeiro processo é descrito matematicamente pela função transferência

$$G_{p1}(s) = \frac{e^{-2,8s}}{s + 0,1}. \quad (1)$$

Vê-se que há um atraso de tempo de 2,8 segundos. Para tratá-lo, será utilizada a técnica de compensação de atraso, denominada preditor de Smith. Esta técnica tenta prever a saída do processo sem atraso e realimentá-la ao controlador. Para tanto, tem-se a estrutura do preditor de Smith apresentada na FIG. 1. Em que $C(z)$ é o controlador, $G_n(s)$ é o modelo da planta sem atraso de tempo, e^{-T_s} é o modelo do atraso e $G_p(s)$ é a representação do processo completo. Nesta configuração, o controlador atua sobre o processo como se não existisse o atraso na dinâmica de malha fechada.

O atraso em Python3 deve ser tratado exclusivamente pela aproximação de Padê. Neste caso, escolheu-se uma aproximação de 8 ordem.

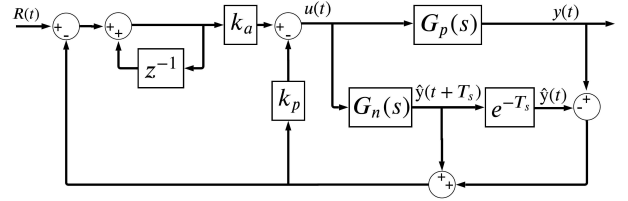


Figura 1. Topologia do Preditor de Smith

Sendo assim, para o projeto do controlador trabalha-se com

$$G_n(s) = \frac{1}{s + 0,1} \quad (2)$$

cujas representação em espaço de estados é

$$\begin{aligned} \dot{\mathbf{x}}(t) &= -0,1\mathbf{x}(t) + u[k] \\ y(t) &= \mathbf{x}(t) \end{aligned} \quad (3)$$

Para as especificações de desempenho $t_s = 20$ s e $OS = 1\% \approx 0\%$, o polo desejado de malha fechada é $p_{1,2} = -0,2 \pm 0,1364j$ no plano s, o que implica em

$$z_{1,2} = 0,8840 \pm 0,0725j. \quad (4)$$

note que o tempo de acomodação não computa o atraso, então o tempo real de acomodação deve estar entorno de 22,8 s.

A discretização de espaço de estados por uma taxa de amostragem de T_s é feita por

$$e^{\begin{bmatrix} \mathbf{A} & \mathbf{B} \\ \mathbf{0} & \mathbf{0} \end{bmatrix} T_s} = \begin{bmatrix} \bar{\mathbf{A}} & \bar{\mathbf{B}} \\ \mathbf{0} & \mathbf{I} \end{bmatrix} \quad (5)$$

sendo $\bar{\mathbf{A}}$ e $\bar{\mathbf{B}}$ as matrizes do sistema discretizado a uma taxa de amostragem T_s . A operação matricial e^{matriz} pode ser feita utilizando o Teorema de Caley-Hamilton e em Python3 feita por `scipy.linalg.expm`.

Portanto, para $T_s = 0,6$ s, tem-se

$$\begin{aligned} x[k+1] &= 0,9418x[k] + 0,5825u[k] \\ y[k] &= x[k], \quad T_s = 0,6 \text{ s} \end{aligned} \quad (6)$$

Um décimo do tempo de acomodação de malha fechada é 2 s, contudo pelo critério do tempo de atraso, deve-se escolher uma taxa de amostragem menor que um quarto do atraso (0,7 s) e portanto, optou-se por $T_s = 0,6$ s.

Supondo $u(t) = \mathbf{K}_p \mathbf{x}(t) + k_a \xi(t)$. A forma ampliada das matrizes \mathbf{A} e \mathbf{B} são

$$\mathbf{A}_d = \begin{bmatrix} 0,9418 & 0 \\ -0,9418 & 1 \end{bmatrix}, \quad \mathbf{B}_d = \begin{bmatrix} 0,5824 \\ -0,5824 \end{bmatrix} \quad (7)$$

E portanto, os ganhos projetados \mathbf{K}_p e k_a são

$$\begin{bmatrix} \mathbf{K}_p \\ k_a \end{bmatrix} = \begin{bmatrix} 0,2663 \\ -0,03216 \end{bmatrix}. \quad (8)$$

Então, implementando a estrutura de controle proposta na FIG. 3 utilizando o código mostrado no APÊNDICE A, a resposta do sistema e a resposta enviada ao controlador são apresentadas na FIG. 2.

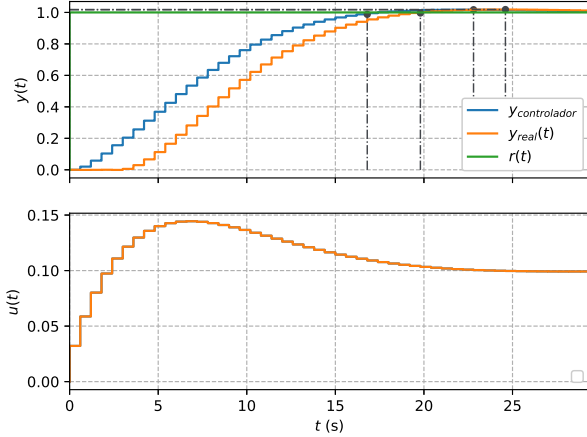


Figura 2. Resposta do sistema 1

A resposta real do sistema mostra que durante 2,8 s, mesmo o sinal de controle tenha sido aplicado, o sistema não apresentou variação na resposta por 2,8 s, mostrando que a aproximação do atraso foi bem sucedida. Além disso, para o sinal enviado ao controlador, o atraso foi removido, fazendo com que o controlador opere normalmente e o sinal de controle não se eleve muito.

Ainda, na TAB. 1 pode-se constatar que o tempo de acomodação obtido é de 3 s a mais que o valor da resposta enviada ao controlador, exatamente como previsto. No entanto, o controlador projetado atingiu a acomodação muito antes, resultado positivo. O sobressinal do sistema foi bem próximo de 1%, o valor do projeto. Sendo assim, o controlador projetado obteve êxito em controlar o sistema. Por fim, o sistema apresentou erro nulo no rastreamento devido ao uso do integrador.

Tabela 1. Critérios de desempenho dos controladores

Parâmetro	y_{real}	$y_{controlador}$
t_s (s)	16,8	19,8
OS (%)	1,033	0,711
US (%)	0,0	0,077
t_r (s)	11,4	10,8

3. SISTEMA 2

A topologia de controle a ser utilizada está apresentada na FIG. 3. Ela utiliza da modelagem em espaço de estados do sistema juntamente com um observador de estados. Ainda, contém um integrador para que o sistema não apresente erro de rastreamento.

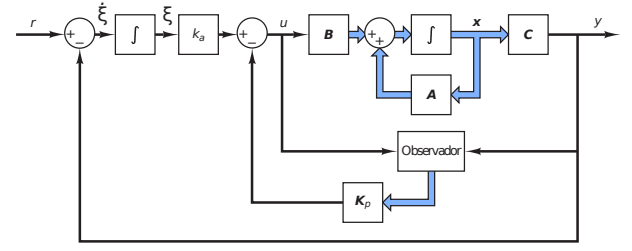


Figura 3. Topologia servossistema do tipo 1 com observador

O modelo do segundo sistema é dado, no plano s , por

$$G_2(s) = \frac{1}{(s+2)(s^2+0,2s+0,65)}$$

e sua representação em espaço de estados é

$$\begin{aligned} \dot{\mathbf{x}}(t) &= \begin{bmatrix} -2,2 & 1,05 & -1,3 \\ -1 & 0 & 0 \\ 0 & -1 & 0 \end{bmatrix} \mathbf{x}(t) + \begin{bmatrix} -1 \\ 0 \\ 0 \end{bmatrix} u(t) \\ y(t) &= [0 \ 0 \ -1] \mathbf{x}(t) \end{aligned} \quad (9)$$

Calculando as matrizes de controlabilidade \mathcal{C} e observabilidade \mathcal{O} tem-se

$$\mathcal{C} = \begin{bmatrix} -0,325 & 0,177 & 0,266 & 0,176 \\ 0,214 & 0,230 & 0,012 & -0,196 \\ -0,076 & -0,308 & -0,424 & -0,334 \\ -0,076 & -0,384 & -0,807 & -1,141 \end{bmatrix}, \quad (10)$$

$$\mathcal{O} = \begin{bmatrix} 0 & 0 & -1 \\ -0,214 & 0,796 & -0,902 \\ -0,444 & 1,124 & -0,501 \end{bmatrix} \quad (11)$$

O sistema é controlável e observável pois as matrizes \mathcal{C} e \mathcal{O} têm posto completo. Sendo assim, é possível controlar e observar o sistema e a implementação da estrutura proposta na FIG. 3 é possível.

Dadas as especificações de $t_{ss} = 10$ s e $OS = 10\%$, os polos dominantes desejados devem se situar em

$$s_{1,2} = -0,4 \pm j0,5458, \quad (12a)$$

$$\Rightarrow z_{1,2} = 0,6152 \pm j0,3291. \quad (12b)$$

Ainda, é preciso alocar outros dois polos. Sendo assim, escolhe-se alocá-los em

$$s_3 = -4, \quad s_4 = -5, \quad (13a)$$

$$\Rightarrow z_3 = 0,0111, \quad z_4 = 0,0232. \quad (13b)$$

A discretização utilizando o Teorema de Caley-Hamilton e (5) para $T_s = 0,9$ s segue

$$\begin{aligned} \dot{\mathbf{x}}[k] &= \begin{bmatrix} -0,039 & 0,620 & -0,423 \\ -0,325 & 0,677 & 0,278 \\ 0,214 & -0,796 & 0,902 \end{bmatrix} \mathbf{x}[k] + \begin{bmatrix} -0,325 \\ 0,214 \\ -0,076 \end{bmatrix} u[k] \\ y[k] &= [0 \ 0 \ -1] \mathbf{x}[k], \quad T_s = 0,9 \text{ s} \end{aligned} \quad (14)$$

A escolha da taxa de amostragem igual a 0,9 s é para que seu valor seja cerca de 10 vezes menor que o tempo de acomodação da malha fechada.

Supondo $u[k] = \mathbf{K}_p \mathbf{x}[k] + k_a \xi[k]$. A forma ampliada das matrizes \mathbf{A} e \mathbf{B} são

$$\mathbf{A}_d = \begin{bmatrix} -0,039 & 0,620 & -0,423 & 0 \\ -0,325 & 0,677 & 0,278 & 0 \\ 0,214 & -0,796 & 0,902 & 0 \\ 0,214 & -0,796 & 0,902 & 1 \end{bmatrix}, \mathbf{B}_d = \begin{bmatrix} -0,325 \\ 0,214 \\ -0,0758 \\ -0,0758 \end{bmatrix} \quad (15)$$

E portanto, os ganhos projetados \mathbf{K}_p e k_a são

$$\begin{bmatrix} \mathbf{K}_p \\ k_a \end{bmatrix} = \begin{bmatrix} -1,3414 \\ 3,2142 \\ -1,1007 \\ -0,8329 \end{bmatrix}. \quad (16)$$

Então, implementando a estrutura de controle proposta na FIG. 3 utilizando o código mostrado no APÊNDICE B, a resposta do sistema nos primeiros 18 s é apresentada na FIG. 4.

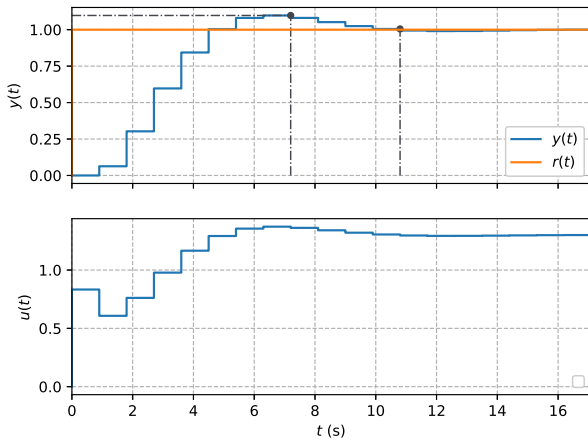


Figura 4. Resposta do sistema 2

Como mostra a TAB. 2, o controlador projetado obteve um desempenho bem próximo dos valores especificados, com um leve desvio. Diferente das abordagens anteriores, a alocação de polos via espaço de estados não adiciona zeros no sistema e portanto, o desempenho da malha fechada tende a ser mais próximo do que foi requerido ao sistema. Além disso, o sistema não apresenta erro no rastreo, justamente por causa da adição do integrador.

Tabela 2. Critérios de desempenho dos controladores

Parâmetro	Valores
t_s (s)	10,8
OS (%)	9,71
US (%)	0,0
t_r (s)	2,7

4. SISTEMA 3

A topologia de controle a ser utilizada está apresentada na FIG. 3. A mesma estrutura utilizada no controlador anterior.

O modelo do terceiro sistema é dado, no plano s , por

$$G_3(s) = \frac{5(s-5)}{(s+2)(s-2)}$$

e sua representação em espaço de estados é

$$\begin{aligned} \dot{\mathbf{x}}(t) &= \begin{bmatrix} 0 & -4 \\ -1 & 0 \end{bmatrix} \mathbf{x}(t) + \begin{bmatrix} -10 \\ 0 \end{bmatrix} u(t) \\ y(t) &= [-0,5 \quad -2,5] \mathbf{x}(t) \end{aligned} \quad (17)$$

Calculando as matrizes de controlabilidade \mathcal{C} e observabilidade \mathcal{O} tem-se

$$\mathcal{C} = \begin{bmatrix} -18,13 & -118,32 & -872,1 \\ 6,91 & 58,87 & 436,0 \\ 8,20 & 96,20 & 750,2 \end{bmatrix}, \mathcal{O} = \begin{bmatrix} -0,5 & -2,5 \\ 2,652 & -5,779 \end{bmatrix} \quad (18)$$

O sistema é controlável e observável pois as matrizes \mathcal{C} e \mathcal{O} têm posto completo. Sendo assim, é possível controlar e observar o sistema e a implementação da estrutura proposta na FIG. 3 é possível.

Dadas as especificações de $t_{ss} = 20$ s e $OS = 10\%$, os polos dominantes desejados devem se situar em

$$s_{1,2} = -0,2 \pm j0,2729, \quad (19a)$$

$$\Rightarrow z_{1,2} = 0,7884 \pm j0,2206. \quad (19b)$$

Vale ressaltar que nas abordagens anteriores, o tempo de acomodação escolhido era $t_s = 40$ s pois era um dos menores valores capazes de estabilizar o sistema sem exigir elevados sinais de controle. No entanto, nesta abordagem, decidiu-se reduzir em 50% o tempo de acomodação de malha fechada.

Ainda, é preciso alocar outro polo. Sendo assim, escolhe-se alocá-lo em

$$s_3 = -5 \quad (20)$$

$$\Rightarrow z_3 = 0,00674. \quad (21)$$

Utilizando o Teorema de Caley-Hamilton e (5) para encontrar as matrizes do sistema discreto para $T_s = 1$ s, tem-se

$$\begin{aligned} \mathbf{x}[k] &= \begin{bmatrix} 3,7622 & -7,2537 \\ -1,8134 & 3,7622 \end{bmatrix} \mathbf{x}[k] + \begin{bmatrix} -18,1343 \\ 6,9055 \end{bmatrix} u[k] \\ y[k] &= [-0,5 \quad -2,5] \mathbf{x}[k], \quad T_s = 1 \text{ s} \end{aligned} \quad (22)$$

A taxa de amostragem escolhida teve que ser 20 vezes o tempo de acomodação, pois com a presença do observador num sistema com polos e zeros de fase não mínima foi necessário elevar a frequência de amostragem para garantir a estabilidade e a adequação da resposta aos critérios de especificação.

Supondo $u[k] = \mathbf{K}_p \mathbf{x}[k] + k_a \xi[k]$. A forma ampliada das matrizes \mathbf{A} e \mathbf{B} são

$$\mathbf{A}_d = \begin{bmatrix} 3,7622 & -7,2537 & 0 \\ -1,8134 & 3,7622 & 0 \\ -2,6525 & 5,7786 & 1 \end{bmatrix}, \mathbf{B}_d = \begin{bmatrix} -18,1343 \\ 6,9055 \\ 8,1966 \end{bmatrix} \quad (23)$$

E portanto, os ganhos projetados \mathbf{K}_p e k_a são

$$\begin{bmatrix} \mathbf{K}_p \\ k_a \end{bmatrix} = \begin{bmatrix} -0,2182 \\ 0,4289 \\ 0,002688 \end{bmatrix}. \quad (24)$$

Então, implementando a estrutura de controle proposta na FIG. 3 utilizando o código mostrado no APÊNDICE C, a resposta do sistema nos primeiros 24 s é apresentada na FIG. 5. Visualmente, o sistema apresentou um *overshoot*

próximo do valor de projeto e um tempo de acomodação ligeiramente menor.

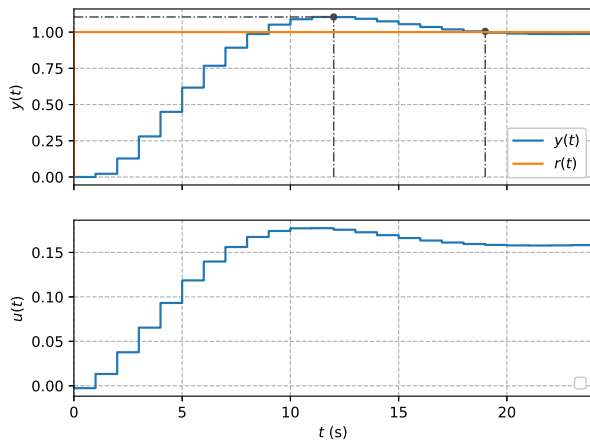


Figura 5. Resposta do sistema 3

Como mostra a TAB. 3, os critérios de desempenho foram atendidos. Vale ressaltar que o zero de fase não mínima não teve seu efeito percebido, diferente das abordagens anteriores. Ainda, mesmo com a redução em 50% no tempo de acomodação, foi possível estabilizar o sistema. Juntamente com o erro nulo em regime permanente, o controlador projetado foi de grande êxito no controle do processo.

Tabela 3. Critérios de desempenho dos controladores

Parâmetro	Valor
t_s (s)	19,0
OS (%)	11,584
US (%)	0,0
t_r (s)	5,0

5. CONCLUSÃO

A utilização da estrutura em espaço de estados para modelar e projetar controladores se mostrou bastante eficiente em todos os casos. Sem a adição de novos zeros como a abordagem polinomial e LGR, o controle do sistema se torna mais simples e fácil de analisar e tratá-lo.

A topologia adotada utiliza de um integrador garantindo erro nulo no rastreamento, mas a técnica para o projeto continua sem muita alteração, facilitando em muito esta etapa.

No terceiro caso, a melhora foi muito evidente, mesmo com a redução em 50% do tempo de acomodação, foi possível alcançar os critérios de desempenho, o que não foi possível nas abordagens anteriores.

Por fim, o uso de observadores de estados é útil quando não é possível medir os estados do sistema e quando o modelo utilizado é próximo do modelo do processo, seu uso quase não impacta na performance do sistema.

Apêndice A. CÓDIGO REFERENTE AO SISTEMA 1

```

1  import numpy as np
2  import matplotlib.pyplot as plt
3  import control as ct
4  import ctrl
5
6  plt.close('all')
7
8  # Função usada para simular o sistema continuamente
9  def simCont(sys, t0, tf, qnt, u, x0):
10     t = np.linspace(t0,tf+t0,qnt)
11     io_sys = ct.tf2io(sys)
12     t, y, x = ct.input_output_response(io_sys, t, u, x0, return_x=True)
13     return y[-1], x.T[-1]
14
15  N = 8 # Ordem do atraso
16  # Defina o modelo do sistema e a taxa de amostragem
17  G = ct.tf([1],[1,0.1])
18  nd, dd = ct.pade(2.8, N) # Aproximação do atraso por Padê
19  delay = ct.tf(nd,dd)
20  Gn = G*delay # Sistema com atraso
21
22  Ts = 0.6 # Taxa de amostragem
23  qnt = 25 # Quantidade de pontos para a simulação contínua
24
25  # Quantidade de amostras
26  m = 50
27
28  # Defina os critérios de desempenho
29  ts = 20 # Tempo de acomodação
30  OS = 0.01 # Sobressinal (%/100)
31
32  # Polos de malha fechada
33  z, w, pd = ctrl.param(ts, OS) # Polo desejado
34  pnd = np.array([]) # Polo não dominante
35
36  # Polos em z
37  P = np.exp(Ts*np.concatenate((pd,pnd)))
38  P.sort() # Organiza em ordem crescente
39
40  # Conversão para espaço de estados contínuo e depois discreto
41  sys = ct.tf2ss(G) # Sistema em espaço de estados
42  sysz = sys.sample(Ts) # Sistema discretizado
43  n = len(G.den[0][0])-1 # Ordem do sistema
44
45  # Forma ampliada
46  Ad = np.vstack((np.hstack((sysz.A, np.zeros((n,1)))),
47                    np.hstack((-sysz.C*sysz.A, np.eye(1)))))
48  Bd = np.concatenate((sysz.B, -sysz.C*sysz.B))
49
50  # Controlabilidade
51  Ctrb = ct.ctrb(Ad,Bd)
52
53  # Verifica a controlabilidade e observabilidade
54  assert np.linalg.matrix_rank(Ctrb)==n+1, 'Não há controlabilidade'
55
56  # Projeto do controlador com integrador
57  K = ct.place(Ad,Bd,P) # projeto
58  Kp = K[0,0:-1] # Ganho para os estados do sistema
59  Ka = K[0,-1] # Ganho do integrador
60
61  # Defina as condições iniciais dos estados
62  x0sys = np.array([0]) # Cond. inicial do sistema
63  xa0 = 0 # Cond. inicial do integrador
64
65  # Pré-alocação
66  r = np.ones(m) # Referência
67  r[0] = 0

```

```

68 u = np.zeros_like(r) # Sinal de controle
69 xa = np.zeros_like(r) # Estado do integrador
70
71 yn = np.zeros(m+1) # Saída do sistema
72 y = np.zeros_like(yn)
73 xm = np.zeros((m+1,n)) # Estados do sistema
74 xd = np.zeros((m+1,N))
75 xn = np.zeros((m+1,n+N))
76
77 # Adicionando as condições iniciais
78 xm[0], xa[0] = x0sys, xa0
79
80 t0 = 0 # Tempo de início da simulação
81 t = np.asarray(range(m))*Ts # Tempo da simulação
82
83 for k in range(m)[1:]:
84     xa[k] = xa[k-1] + r[k] - y[k]
85     uk = -Kp*xm[k] - Ka*xa[k]
86     u[k] = uk[0,0]
87
88     # Modelo de projeto
89     ymk, xmk = simCont(G, t0, Ts, qnt, u[k], xm[k])
90     # Sistema c/ atraso
91     ynk, xnk = simCont(Gn, t0, Ts, qnt, u[k], xn[k])
92     # Atraso
93     ydk, xdk = simCont(delay, t0, Ts, qnt, ymk, xd[k])
94
95     yn[k+1] = ynk # Saída do sistema
96     y[k+1] = ynk + ymk - ydk # Saída p/ o controlador
97
98     xm[k+1] = xmk # Modelo
99     xd[k+1] = xdk # Atraso
100    xn[k+1] = xnk # Sistema
101
102    t0 += Ts
103
104 ylabels=['$y_{controlador}$','$y_{real}(t)$']
105 ctrl.PlotData(t, [y[:-1], yn[:-1]], r, [u,u], True, ylabels)

```

Apêndice B. CÓDIGO REFERENTE AO SISTEMA 2

```

1  import numpy as np
2  import matplotlib.pyplot as plt
3  import control as ct
4  import ctrl
5
6  plt.close('all')
7
8  # Função usada para simular o sistema continuamente
9  def simCont(sys, t0, tf, qnt, u, x0):
10     t = np.linspace(t0,tf+0.001,qnt)
11     io_sys = ct.LinearIOSystem(sys)
12     t, y, x = ct.input_output_response(io_sys, t, u, x0, return_x=True)
13     return y[-1], x.T[-1]
14
15 # Defina o modelo do sistema e a taxa de amostragem
16 G = ct.tf(1, np.convolve([1,2],[1,0.2,0.65]))
17 Ts = 0.9
18
19 # Quantidade de amostras
20 m = 20
21
22 # Defina os critérios de desempenho
23 ts = 10 # Tempo de acomodação
24 OS = 0.1 # Sobressinal (%/100)
25
26 # Polos de malha fechada
27 z, w, pd = ctrl.param(ts, OS) # Polo desejado
28 pnd = np.array([-5,-4]) # Polo não dominante
29
30 # Polos em z
31 P = np.exp(Ts*np.concatenate((pd,pnd)))
32 P.sort() # Organiza em ordem crescente
33
34 # Conversão para espaço de estados contínuo e depois discreto
35 sys = ct.tf2ss(G) # Sistema em espaço de estados
36 sysz = sys.sample(Ts) # Sistema discretizado
37 n = len(G.den[0][0])-1 # Ordem do sistema
38
39 # Forma ampliada
40 Ad = np.vstack((np.hstack((sysz.A, np.zeros((n,1)))),
41                 np.hstack((-sysz.C*sysz.A, np.eye(1)))))
42 Bd = np.concatenate((sysz.B, -sysz.C*sysz.B))
43
44 # Controlabilidade e Observabilidade
45 Ctrb, Obsv = ct.ctrb(Ad,Bd), ct.observ(sysz.A, sysz.C)
46
47 # Verifica a controlabilidade e observabilidade
48 assert np.linalg.matrix_rank(Ctrb)==n+1, 'Não há controlabilidade'
49 assert np.linalg.matrix_rank(Obsv)==n, 'Não há observabilidade'
50
51 # Projeto do controlador com integrador
52 K = ct.place(Ad,Bd,P) # projeto
53 Kp = K[0,0:-1] # Ganho para os estados do sistema
54 Ka = K[0,-1] # Ganho do integrador
55
56 # Polos desejados do Observador
57 Pobs = np.array([Ts/4, Ts/4.1, Ts/4.2])
58 Ke = ct.place(sysz.A.T, sysz.C.T, Pobs) # Proj. Observador
59
60 # Defina as condições iniciais dos estados
61 x0sys = np.array([0, 0, 0]) # Cond. inicial do sistema
62 x0obs = np.array([0, 0, 0]) # Cond. inicial do observador
63 xa0 = 0 # Cond. inicial do integrador
64
65 # Pré-alocação
66 r = np.ones(m) # Referência
67 r[0] = 0

```

```

68 u = np.zeros_like(r) # Sinal de controle
69 xa = np.zeros_like(r) # Estado do integrador
70
71 y = np.zeros(m+1) # Saída do sistema
72 x = np.zeros((m+1,n)) # Estados do sistema
73 xe = np.zeros_like(x) # Estados do observador
74
75 # Adicionando as condições iniciais
76 x[0], xe[0], xa[0] = x0sys, x0obs, xa0
77
78 t0 = 0 # Tempo de início da simulação
79 t = np.arange(m)*Ts # Tempo da simulação
80
81 for k in range(m)[1:]:
82     xek = xe[k].reshape((n,1))
83     xa[k] = xa[k-1] + r[k] - y[k]
84     uk = -Kp*xek - Ka*xa[k]
85     u[k] = uk[0,0]
86
87     y1, x1 = simCont(sys, t0, Ts, 100, u[k], x[k])
88     y[k+1] = y1
89     x[k+1] = x1
90     xe[k+1] = (sysz.A*xek + sysz.B*uk + Ke.T*(y[k] -sysz.C*xek)).reshape(n)
91
92     t0 += Ts
93
94 ylabel='$y(t)$'
95 ctrl.PlotData(t, y[:-1], r, u, True, ylabel)

```


Apêndice C. CÓDIGO REFERENTE AO SISTEMA 3

```

1  import numpy as np
2  import matplotlib.pyplot as plt
3  import control as ct
4  import ctrl
5
6  plt.close('all')
7
8  # Função usada para simular o sistema continuamente
9  def simCont(sys, t0, tf, qnt, u, x0):
10     t = np.linspace(t0,tf+t0,qnt)
11     io_sys = ct.LinearIOSystem(sys)
12     t, y, x = ct.input_output_response(io_sys, t, u, x0, return_x=True)
13     return y[-1], x.T[-1]
14
15 # Defina o modelo do sistema e a taxa de amostragem
16 G = ct.tf([5,-25], np.convolve([1,2],[1,-2]))
17 Ts = 1
18
19 # Quantidade de amostras
20 m = 25
21
22 # Defina os critérios de desempenho
23 ts = 20 # Tempo de acomodação
24 OS = 0.1 # Sobressinal (%/100)
25
26 # Polos de malha fechada
27 z, w, pd = ctrl.param(ts, OS) # Polo desejado
28 pnd = np.array([-5]) # Polo não dominante
29
30 # Polos em z
31 P = np.exp(Ts*np.concatenate((pd,pnd)))
32 P.sort() # Organiza em ordem crescente
33
34 # Conversão para espaço de estados contínuo e depois discreto
35 sys = ct.tf2ss(G) # Sistema em espaço de estados
36 sysz = sys.sample(Ts) # Sistema discretizado
37 n = len(G.den[0][0])-1 # Ordem do sistema
38
39 # Forma ampliada
40 Ad = np.vstack((np.hstack((sysz.A, np.zeros((n,1)))),
41                  np.hstack((-sysz.C*sysz.A, np.eye(1)))))
42 Bd = np.concatenate((sysz.B, -sysz.C*sysz.B))
43
44 # Controlabilidade e Observabilidade
45 Ctrb, Obsv = ct.ctrb(Ad,Bd), ct.obsv(sysz.A, sysz.C)
46
47 # Verifica a controlabilidade e observabilidade
48 assert np.linalg.matrix_rank(Ctrb)==n+1, 'Não há controlabilidade'
49 assert np.linalg.matrix_rank(Obsv)==n, 'Não há observabilidade'
50
51 # Projeto do controlador com integrador
52 K = ct.place(Ad,Bd,P) # projeto
53 Kp = K[0,0:-1] # Ganho para os estados do sistema
54 Ka = K[0,-1] # Ganho do integrador
55
56 Acl = Ad-Bd*K
57 #eigAcl = np.linalg.eig(Acl)[0]
58 #eigAcl.sort()
59
60 # Polos desejados do Observador
61 Pobs = np.array([Ts/4, Ts/4.1])
62 Ke = ct.place(sysz.A.T, sysz.C.T, Pobs) # Proj. Observador
63
64 # Defina as condições iniciais dos estados
65 x0sys = np.array([0, 0]) # Cond. inicial do sistema
66 x0obs = np.array([0, 0]) # Cond. inicial do observador
67 xa0 = 0 # Cond. inicial do integrador

```

```

68
69 # Pré-alocação
70 r = np.ones(m)          # Referência
71 r[0] = 0
72 u = np.zeros_like(r)    # Sinal de controle
73 xa = np.zeros_like(r)   # Estado do integrador
74
75 y = np.zeros(m+1)       # Saída do sistema
76 x = np.zeros((m+1,n))   # Estados do sistema
77 xe = np.zeros_like(x)   # Estados do observador
78
79 # Adicionando as condições iniciais
80 x[0], xe[0], xa[0] = x0sys, x0obs, xa0
81
82 t0 = 0 # Tempo de início da simulação
83 t = np.asarray(range(m))*Ts # Tempo da simulação
84
85 for k in range(m)[1:]:
86     xek = xe[k].reshape((n,1))
87     xa[k] = xa[k-1] + r[k] - y[k]
88     uk = -Kp*xek - Ka*xa[k]
89     u[k] = uk[0,0]
90
91     y1, x1 = simCont(sys, t0, Ts, 100, u[k], x[k])
92     y[k+1] = y1
93     x[k+1] = x1
94     xe[k+1] = (sysz.A*xek + sysz.B*uk + Ke.T*(y[k] -sysz.C*xek)).reshape(n)
95
96     t0 += Ts
97
98 ylabel=$y(t)$'
99 ctrl1.PlotData(t, y[:-1], r, u, True, ylabel)

```